

Ho - O



Hö-D

VII 2430

1954

Me (CeCl₃, PrCl₃, SmCl₃, EuCl₃, GdCl₃,
Sm₂O₃, Eu₂O₃, Gd₂O₃, Dy₂O₃, Ho₂O₃, Er₂O₃,
Tb₂O₃, Yb₂O₃, Lu₂O₃, TbF₄, TbOF)

Templeton D.H., Dauben C.H.,

J. Amer. Chem. Soc., 1954, 76, 5237-5239

Met

PNR, 1955, v17, 36723

EOTS 4. 10

Hg H₂O Gatterer A., Junkes J., 1958 h

Salpeter E. W.

Inst. Spectra of Metallic
Oxides (1957) Specola Vaticana

VIII 1114

1963

Sc_2O_3 , Y_2O_3 , La_2O_3 , Ce_2O_3 , Pr_2O_3 , Nd_2O_3 ,
 Pm_2O_3 , Sm_2O_3 , Eu_2O_3 , Gd_2O_3 , Tb_2O_3 , Dy_2O_3 ,
 Ho_2O_3 , Er_2O_3 , Tm_2O_3 , Yb_2O_3 , Lu_2O_3

(D_i)

Baun Wm. L., Mc Devitt N.T.,
J. Amer. Ceram. Soc., 1963, 46, 294

10

CA, 1963, 59, n10, 10893e

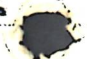
еемс оримас

Hg_2O_3

1963

Westrum Edgar F.
Justice Bruce H.

J. Phys. Chem., 1963, 67, n3, 659.

Термодин. сб-ва описыв
ются вондом. III. Термоэнер-
гетик., Термодин. сб-ва и не-
компактные материалы. Уровни
описыв. Трехвалентных групп
зар.,  Hg и Zn . (ан. Dy_2O_3)

X. 1964.9

МоO

Baldacci G. и сп.

1965

417

Do

J. Chem. Phys.,
43, N6, 2136

предсказана

Мол-еи темпакарбидов
в газовой фазе над си-
мечалее Р37 - градус.



MoO₂

1965

Balducci G. u. gp.

417

D.

(оченка)

J. Chem. Phys., 43, N 6,
2136.

Мал-ліві шесті ракар-
бидов в гаюбсті фазе
менг  синтетичні
P39- градиум.



Eu_2O_3 , Gd_2O_3 , $\text{Tb}_{.4}\text{O}_7$, Dy_2O_3 , Ho_2O_3 , 1967
 Er_2O_3 , Tm_2O_3 , Yb_2O_3 , Lu_2O_3 (cum. 1967) VIII 441.

Petru G., Muck A.
V. Chem., 1967, 7(4), 159.

K
Chemistry of rare earth elements. XL.
Infrared absorption spectra of oxides
of the lanthanide Eu... Lu.

10 (4) C4, 1967, b7, v6, 27442x

HOO

ommeca 4543

^{nascita}
1969

De Maria G.

(D) 2^o Simposio Internazionale di Dinamica delle Reazioni chimiche su le flamme Quali Reazioni. in flusso

Ce₂Eu₂(K_p), Ce₂, Pr₂, Nd₂, Sm₂, ~~Eu₂~~, ~~Tl₂~~, Dy₂, ~~Ho₂~~, Er₂Tm₂(D₀) 1969
Gingerlich K.A., VIII 912

J. Chem. Soc., 1969, D, N1, 9-10

Mass-spectrometric determination of
the dissociation energy of the mo-
lecule Ce₂ and predicted stability of
diatomic rareearth metals

PX 1969
205717

MHD.

VIII 4314. J. спироэффи (CeO₂, PrO₂, TeO₂,
J. (CeO, PrO, NdO, SmO, GdO, TbO, DyO, KoO,
ErO, TmO, LuO)

De Rock R. L., Weltner W., VIII 4314
J. Phys. Chem., 1971, 75, N 4, 514-25



109971

CeO_2 , PrO_2 , TbO_2 (ν_i) 8

1971

CeO , PrO , TbO , LaO , GdO , NdO , SmO ,
 DyO , HoO , ErO , TmO , LuO (ω_e).

VII 4477

(Cuppen & Hauffe)

Weltner W., DeKock R.-h. (area)

J. Chem. Phys., 1971, 55 (4), 514-25.

Spectroscopy of rare earth oxide
molecules in inert matrices at 4°K

HO

(b)

20

C (1970, 74 (20), 105848c)

HOO

ommec A.-2761

1974

Guido M. Gigli G.,

J. Chem Phys., 1974,

61 N10, 4138-40.

O-HO

075 4824

1975

Kerr J. A., et al.

(D)

Handbook Chem. Phys.,
55th Ed., 1974-75

Ho_2O_3

Константинов В. С.
и др.

1977

" Spectrosc. lett.",
1977, 10, N1, 11-15,

(V_i)



(ав. $\delta m_2\text{O}_3$) III

H60

OMMUC 4497 1978

Ackermann R.J., Rauch E.G.

Rev. int. Hautes Temp. Refract.
Fr., 1978, vol. 15, pp 259-80.

D.

1978

HoO

89: 97449b Studies of the chemiluminescent reaction holmium + nitrous oxide \rightarrow excited holmium monoxide + molecular nitrogen. Tang, S. P.; Wicke, B. G.; Friichtenicht, J. F. (Def. Space Syst. Group, TRW, Redondo Beach, Calif.). *J. Chem. Phys.* 1978, 68(12), 5471-3 (Eng). The chemiluminescent spectrum of the reaction $\text{Ho} + \text{N}_2\text{O} \rightarrow \text{HoO}^* + \text{N}_2$ was obtained, identifying 3 excited electronic states populated by the reaction. Each excited state results from a bimol. reaction, and the relative chemiluminescent cross section vs. kinetic energy for producing each excited state is obtained. The total scattering cross sections for $\text{Ho} + \text{N}_2\text{O}$ is obtained vs. kinetic energy. The total reactive cross section is $\approx 16 \pm 4 \text{ \AA}$.

hozgyneq.
coomath.
Klecker -
mecccegelyus.

Keelback!

P.A. 1048, PG, NR

HOD

[Lommel 10855] 1980.

Murad E., et al.

(x₀) J. Chem. Phys., 1980,
73 (8), 4005 - 11

(all.: GdO - III)

MoO

Om-NaG (8 ranke Hildenbrand) 1980

Ullrad E., Hildenbrand
D. L.,

D₀; Z. Chem. Phys., 1980, 73(8),
4005-4011.

HO

Ommuck 13259 |
Ommuck 12426 |

1981

Kaledin I.A., Shengavskaya E.A.

Метионин
сухой,
м.н.

ж. Мол. спектросц., 1981, 20,
N2, 590-591

HOO

Lommuck 14948

1982

Эукропон.

Empyrum
myosu-

Field R.W.,

Ber. Bunsenges. Phys.
Chem., 1982, 86, N 9,
771-779.



НДО

(У Кулакова)

1983

Дудицкий Р.Б., Чербак С.Д.,

Происходжение неизвестных
спектральных уровней
лигро-
лических. Тезисы докт. хокт. Всесоюзно-
спектр. конгр. по спектроскопии,

уровни
Ташкент, 1983.

HoO

24/579 (?)

Si, II. I;

On. 24/509

On. 19170

1984

12 Л232. Лазерная спектроскопия молекул HoO: возбуждение низколежащих электронных состояний. Laser spectroscopy of holmium oxide. Examination of the low-lying electronic states. Liu Y. C., Linton C., Schall H., Field R. W. «J. Mol. Spectrosc.», 1984, 104, № 1, 72—88 (англ.)

Спектры возбуждения и флуоресценции молекул HoO исследованы с использованием одночастотного, узкополосного (1 МГц), перестраиваемого, непрерывного лазера на красителе. В спектрах идентифицировано 8 электронных состояний молекулы HoO (4 низколежащих и 4 высоколежащих), для которых выполнено Ω -отнесение и предварительный колебательно-вращательный анализ. Низколежащие состояния обладают характером $\text{Ho}^{2+}\text{O}^{2-}$, где Ho^{2+} имеет конфигурацию $4f^{10}(^5I)6S$. Энергетич. расположение состояний и Ω -отнесение полностью согласуются с предсказанными теорией. Относит. величины сверхтонкого расщепления, наблюдающегося во всех состояниях, использованы для оценки относит. вкладов f - и s -электронов в сверхтонкую структуру. Библ. 16.

В. С. Иванов

φ 1984, 18, N 12

НоO

On. 19 170 1984

23 Б1214. Лазерная спектроскопия оксида гольмия: изучение низколежащих электронных состояний. Laser spectroscopy of holmium oxide: examination of the low-lying electronic states. Liu Y. C., Linton C., Schall H., Field R. W. «J. Mol. Spectrosc.», 1984, 104, № 1, 72—88 (англ.)

Экспериментально изучена электронная, колебат., вращат. и СТС спектра оксида гольмия, НоO. С помощью перестраиваемого лазера на краинтеле широкой одиночной линии 1 МГц измерены спектры возбуждения флуоресценции. Исследованы переходы между четырьмя низколежащими и четырьмя высоколежащими электронными состояниями. Относит. отнесение состояний выполнено на основе спектров флуоресценции. Абс. отнесение электронных состояний по Ω проведено на основе анализа первых линий в спектре поглощения высокого разрешения. Определены электронные термы для восьми состояний и вращат. и колебат. постоянные.

24/519(?)
On. 24 609

д.н.

X. 1984, 19, № 23

для нек-рых из них. Для состояния X_1 8,5 $T_0=0$, $B_0=0,3575$, $\Delta G_{1/2}=841,4$. Для состояния X_2 7,5 $T_0=608,78$, $B_0=0,3560$. Для состояния W_1 7,5 $T_0=1130$. Для состояния W_2 6,5 $T^0=1861,1$, $B_0=0,3502$. Для состояния [17,6] 7,5 $T_0=17,552$, 72, $B_0=0,3559$, $\Delta G_{1/2}=787$. Для состояния [18,3] 8,5 $T_0=18\ 300$. Для состояния [18,4] 6,5 $T_0=18\ 361,53$, $B_0=0,3485$. Для состояния [19,0] 7,5 $T_0=19\ 010$ (все величины в см^{-1}). Качеств. обсуждение относит. расположения электронных состояний дано на основе теории поля лигантов. Для ряда переходов обнаружена хорошо разрешенная СТС. Проведена оценка вкладов в сверхтонкое расщепление от f - и s -электронов.

Б. И. Жилинский

МИ
М. И

№203

1984

12 Л655. Фотопироэлектрическая спектроскопия (ФПЭС) конденсированных фаз в частотной области. Новый, простой и мощный спектроскопический метод. Frequency-domain photopyroelectric spectroscopy of condensed phases (PPES). A new, simple and powerful spectroscopic technique. Mandelis Andreas. «Chem. Phys. Lett.», 1984, 108, № 4, 388—392 (англ.)

Сообщаются результаты эксперим. исследований возможностей нового метода фотопироэлектрической (ФПЭ) спектроскопии физико-химич. процессов в естественных условиях. ФПЭ-метод является вариантом известного метода фотоакустич. спектроскопии, усовершенствованным в части использования образцов более сложной геометрии. Описаны устройство измерительной ФПЭ кюветы с образцом, и блок-схема измерит. установки на ее основе, приведены частотные характеристи-

спектрн

φ. 1984, 18, N 12.

тиki кюветы при использовании Не—Не-лазерного источника излучения (мощностью 2 мВт). Приведены примеры ФПЭ спектров порошков Ho_2O_3 , полученные с помощью описанного метода, анализируются сравнительные с методом фотоакустич. спектроскопии достоинства и особенности метода ФПЭ спектроскопии.

В. И. Л.

Hg₂D₃

(OM. 21288)

1985

Ryzhkov M.V., Gubanov V.A.,
et al,

Родзекір.

сіркір,

зелкірн.

сірукітіра,

Хар. СВ936.

Z. Phys., 1985, B59,
N 1, 7-14.

Mo₂

130353

1988

Краснов К. С.,
Филеечникова М. В.,

ОНИИТЭХИМ.

Ден. № 378-ХП-86,
Черкассы, 1988.

д.н.

(обзор)

Мал

30353)

1988

Краснов К.С.,
Филенгемко Н.В.,

ОНИИТЭХИМ.

Ден. № 378-ХП-86,
Черкассы, 1988.

м.н.

(обзор)

HoO

24579?

24500

O.M. 19170

1984

100: 111500r Laser spectroscopy of holmium oxide: examination of the low-lying electronic states. Liu, Y. C.; Linton, C.; Schall, H.; Field, R. W. (Phys. Dep., Univ. New Brunswick, Fredericton, NB Can. E3B 5A3). *J. Mol. Spectrosc.* 1984, 104(1), 72-88 (Eng). Laser spectroscopic techniques were used to examine the electronic, vibrational, rotational, and hyperfine structure of holmium oxide. Single-frequency, narrow-line (1 MHz), tunable continuous-wave dye lasers were used to excite fluorescence in gas-phase HoO and resolved fluorescence and high-resoln. excitation spectra were obtained. Four low-lying and 4 higher-lying states were obsd. The energies and Ω assignments of all the states were detd. together with, in some cases, preliminary rotational consts. and vibrational frequencies. The 4 low-lying states, including the $\Omega = 8.5$ ground state, are shown by using ligand field theor. arguments to result from ionically bonded $\text{Ho}^{2+}\text{O}_2^-$ in which the Ho^{2+} configuration is $4f^{10}(5I)6s$. The energy pattern and Ω assignments are in complete accord with ligand field theory predictions. Hyperfine structure, in some cases well resolved, was obsd. in all high-resoln. spectra and was used to det. the free at. ion quantum nos. for each low-lying state. The relative magnitudes of the hyperfine splitting in each of these states were used to est. the relative contributions of the f and s electrons to the hyperfine structure.

HYDROXYL
WELNG. COCM.
COKMP, LAPP.
COKMP.

C.A. 1984, 100, N 14

HoO

Om 30598

1988

11 Б1168. Анализ вращательной и сверхтонкой структуры в монооксиде гольмия. Analysis of rotational and hyperfine structure in holmium monoxide / Linton C., Liu Y. C. // J. Mol. Spectrosc.— 1988.— 131, № 2.— С. 367—381.— Англ.

Выполнен детальный анализ лазерных спектров возбуждения молекул HoO с разрешением, ограниченным допплеровским контуром (J. Mol. Spectr.— 1984.— 104.— С. 72). Проанализирована полностью разрешенная структура линий в полосах 0—0, 0—1 и 1—1 перехода [17,6] 7,5— X_1 8,5, 0—0 перехода [18,4] 6,5— W_1 7,5 (R -ветвь) и частично разрешенная при низких I структура в 0—0-полосах переходов [17,6] 7,5— X_2 7,5 и [18,4] 6,5— W_2 6,5. Рассчитаны вращат. постоянные и постоянные магн. сверхтонкой структуры для всех состояний, участвующих в переходах. Полученные зна-

III.1.

X.1989, N//

чения α (см^{-1}) составляют: состояние X_1 8,5—0,3582,
 X_2 7,5—0,195, W_2 6,5—0,129. Отмечено хорошее согла-
сие эксперим. значений с рассчитанными теоретически
в рамках теории поля лигандов. Оценены параметры α ,
характеризующие вклад 4f- и 6s-электронов в СТ-стру-
туру. Обсужден механизм взаимодействия низколежа-
щих электронных состояний. С. Б. Осин



HoO

Om 30598

1988

4 Л166. Анализ вращательной и сверхтонкой структуры моноокиси гольмия. Analysis of rotational and hyperfine structure in holmium monoxide / Linton C.; Liu Y. C. // J. Mol. Spectrosc.— 1988.— 131, № 2.— С. 367—381.— Англ.

С разрешением, ограниченным доплеровской шириной линий, получен спектр лазерного возбуждения молекул HoO. Для полос 0—0, 0—1 и 1—1 перехода [17,6] 7,5— X_1 8,5 и полосы 0—0 перехода [18,4] 6,5— W_1 7,5 полностью разрешена сверхтонкая структура линий. Для полосы 0—0 переходов [17,6] 7,5— X_2 7,5 и [18,4] 6,5— W_2 6,5 сверхтонкая структура разрешена частично и только для линий с малыми значениями вращательного квантового числа J . Определены молекулярные константы молекулы HoO, включая постоянные сверхтонкого расщепления.

М.Н.

о. 1989, № 4

HOO

PM 30598

1988

110: 15454q Analysis of rotational and hyperfine structure in holmium monoxide. Linton, C.; Liu, Y. C. (Phys. Dep., Univ. New Brunswick, Fredericton, NB, Can. E3B 5A3). *J. Mol. Spectrosc.* 1988, 131(2), 367-81 (Eng). Doppler-limited laser excitation spectra was recorded for 6 bands of HoO. For the 0-0, 0-1, and 1-1 bands of the [17.6]7.5-X₁ 8.5 transition and the 0-0 band of [18.4] 6.5-W₁ 7.5 (R branch only), the hyperfine structure is completely resolved. For the 0-0 bands of the [17.6]7.5-X₂ 7.5 and [18.4] 6.5-W₂ 6.5 transitions, hyperfine structure is partially resolved and only at low *J*. Rotational and hyperfine analyses were performed for all the transitions. The hyperfine structure was examd. and provided information about the nature of the coupling mechanisms in the various electronic states. The hyperfine consts. was used in conjunction with results of ligand field theor. calcns. to det. the individual hyperfine parameters for the 4f and 6s electrons. These parameters were compared with those of free Ho²⁺ in order to provide insight into the nature of the electron orbitals in the mol.

transl. Amer. Chem. Soc.
C. A. 1989, N 2

C. A. 1989, N 2

HOD

(om. 32512 /

1989

Field R.W., Baldwin D.P.,
et al.

Ei Spectrochimica Acta Gol-
den Jubilee symposium
June 27-28, 1989.

Spectroscopy Beyond
Molecular Constants.

H02D3

[Om 34750]

1990

Narayanan K., Thaker S.N.

checkup

App. l. Opt. 1990, 29,

N18, 2478-2484

HoO

1992

120: 310267h Laser spectroscopic studies of holmium monoxide
and dysprosium monoxide. Cheng, Chi Hui (Univ. New Brunswick,
Fredericton, NB Can.). 1992. 390 pp. (Eng). Avail. NLC Order No.
DANN81496. From *Diss. Abstr. Int. B* 1994, 54(8), 4212.

laser spectral
characterization

④ DyO

C. A. 1994, 120, N24

F: Ho2O3

P: 3 17

1996

4Б29. Синхротронное рентгеновское исследование распределения электронной плотности в редкоземельных оксидах C-типа. A synchrotron X-Ray study of the electron density in C-Type rare earth oxides / Maslen E. N., Streltsov V. A., Ishizawa N. // Acta crystallogr. B. - 1996. - 52, june. - C. 414-422. - Англ.

Проведен РСТА ('лямбда' 0,7, синхротрон, R 0,056 и 0,072 для 1113 и 1098 отражений I и II соотв.) Dy[2]O[3] (I) и Ho[2]O[3] (II). Кристаллы I, II кубич., а 10,5981, 10,606A, Z 16, 16, ф. гр. Ia[3]. На распределение электронной плотности в структурах в значительной степени влияют катион-анионные взаимодействия.